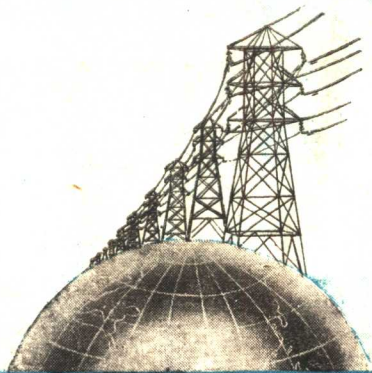
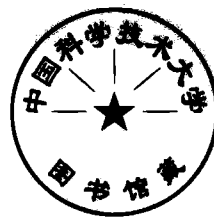


# 第十七届国际大电网会议 报告选译



1. 苏联对于600千伏超长距离输电系统的研究
2. 瑞典高特兰岛高压直流输电线引起的通讯干扰及其他效应
3. 在室内试验档距、室外试验档距以及实际的输电线路上对导线振动的研究



## 第十七屆国际大电网會議報告選譯

編輯者 中国科学技术情报研究所  
出版者 北京朝內大街 117 号  
印刷者 外文印刷厂  
发行处 中国科学技术情报研究所  
訂購 北京朝內大街 117 号

工本費：0.60元 1959年5月出版

72.1  
5627

## 前　　言

为了配合我国以三峡为中心的动力系統的建立，我們从第十七屆国际大电网會議（1958年）的報告中選擇了這三篇文章。

这次選擇的三篇報告，一篇是苏联的，是关于采用 600 千伏电压进行輸电的研究報告；一篇是瑞典的，是关于高压直流輸电系統通訊干擾的研究報告；另一篇是美国的，是对于架空綫路導綫振动的研究報告。仅仅这些，当然还远不能包括有关象三峡那样强大的动力系統的所有主要問題。以后，我們还准备根据情况繼續進行這項工作。希望有关方面能大力协助。

## 苏联对于600千伏超长距离輸电系統的研究

N. B. Bogdanova, A. K. Gertzik, N. P. Emeljanov, A. I. Kolpakova,  
I. M. Markovich, V. I. Popkov, S. A. Sovalov, G. A. Slavin

### 摘要

本文报导了在三相輸电系統中确定使用400千伏以上的电压級的研究結果，此輸电系統将在1500公里以上的距离經濟地传输4000兆瓦左右的功率。根据技术和經濟計算的結果进一步地研究表明，應該采用600千伏左右的电压。

文中提供了电压約为1000千伏均方根时在桿一桿和桿一平面电极間空气隙的电强度試驗結果。

并且提供了在各种不同的气象条件下一条直径为25.2公厘和37.1公厘的复导綫試驗輸电綫路的不同天气的电量損耗。同时还描述了一种方法，可用以預測在固定的天气条件下600千伏綫路上可能发生的年电量損耗。

此外，还考虑到了下面几个問題：

电量对于导綫截面的选择有何影响；电量損耗与复导綫中导綫的数目及导綫截面有何关系；导綫扩大的效应是什么。

### 1. 苏联远距輸电系統新电压級的选择

今后15年内苏联动力工业的发展，是与利用大量的水能和西伯利亚的不能运输的廉价燃料相联系着的。

西伯利亚电站的容量和发电量非常之大，因此，除了在这些电站附近地区大力发展工业外，还有一个問題就是如何将发出的一部分电量传输到遥远的地区，特別是烏拉尔地区去。连接西伯利亚电力系統和烏拉尔的电力網，将解决了輸电綫路通过的广大地区的供电問題。由于各个电力系統所处的地帶不同，它們需要电力的时间是不一致的，因此設备容量有相当的經濟性。

这些輸电系統在綫路长度和輸送容量方面将超过古比雪夫綫路几倍。在这些方面，苏联正在超过1500—2500公里的綫路上进行4000兆瓦左右的直流和交流輸电試驗。下面所述为交流輸电工作情况。

为了使这个問題得到相当經濟的解决办法而确定新电压級时，不需要考虑輸电系統的一切功能。不論是传输水电站的电或者热电站的电，不論是用負荷曲綫还是用不同的河水流量来调节这些电力系統之間的关系，必須要保証用相当低的輸电費用来滿足需要的輸送容量。

可通过下列几种措施来降低輸电費用：增加一个綫路的容量，增加工作电压，簡化輸电系統，以及改进綫路和設备并降低它們的成本。

可借提高远距輸电綫路稳定度的种种方法，来提高綫路的輸送容量，这些方法已經采用。其中有：复导綫、串联电容器补偿、改进的激励系統（即所謂“强作用”的調節器）〔1〕、大型补偿装置（特别是中間同步电容器）以及电动的和机械驱动的发电机紧急制动器。

电力系統参数的补偿，对于所考慮的长度和容量的线路來說是絕對需要的。由于线路长度接近于1500公里（为非补偿线路的一个波长的1/4），因此发生了一些特殊的因素，使系统不进行补偿不能运行，例如：当輸送容量改变时电压急驟变化；此外，线路上的电压分佈，除了自然功率传输外，不适于所有的运行情况；稳定度低并且有不可容許的大功率损耗。

可用电容器或同步电容器进行补偿。

当輸电系統連接到电力系統上时，就将同步电容器装在变电所中以使无功功率得到平衡。这种同步电容器由于使用“强作用”調節器，能有效地保持稳定状态的稳定度。苏联正在研究改变同步电容器的設計，以便得到更好的电气参数。

在苏联进行研究的結果可以証明，发电机和同步补偿器利用“强作用”調節器可以保証輸电系統的稳定运行，所达到的稳定限度是由高压电站母綫及同步电容器端头上的电压的恒定度来决定的。

至于在瞬时稳定性方面，毋需要求400千伏或400千伏以上的輸电系統在线間故障时保持稳定，因为线間故障是很少发生的。至于在接地故障时，可以用强制激励和机械及电力制动的方法来保持系統的稳定性。

有一部分线路通过的地区还没有电力系統。在那些地区通过的輸电线路用电抗器和串联电容器进行补偿。

經証明，串联和并联补偿装置，若是在线上配置均匀的話，对于通过式輸电系統最有效。减少线上相位角的均匀分佈的串联和并联补偿，可看作是縮短远距輸电的系統上波长，因此消除了线上不滿意的运行情况。

因此，将使用同步电容器和串联电容器在远距輸电系統中进行补偿。研究結果証明，总容量和补偿裝置的費用与采用的电容器的类型和大小关系不大。

为了进行經濟計算，可能使用具有串联电容器补偿的单回輸电线路（图1）。

图1中线上所选择的串联电容器补偿的数量，是保証对于不同长度、容量和电压的輸电系統具有相同的設計条件。这就使不同长度、輸送容量和电压的线路端头上电压向量間的角度不变。在相位角为45°时进行了比較。

安装了足够的电抗器，以便有无負荷条件下，接点的电压与額定电压相等。在接收端变电所功率分配的費用未包括在內，因为它們很少随着額定輸电电压而变化。

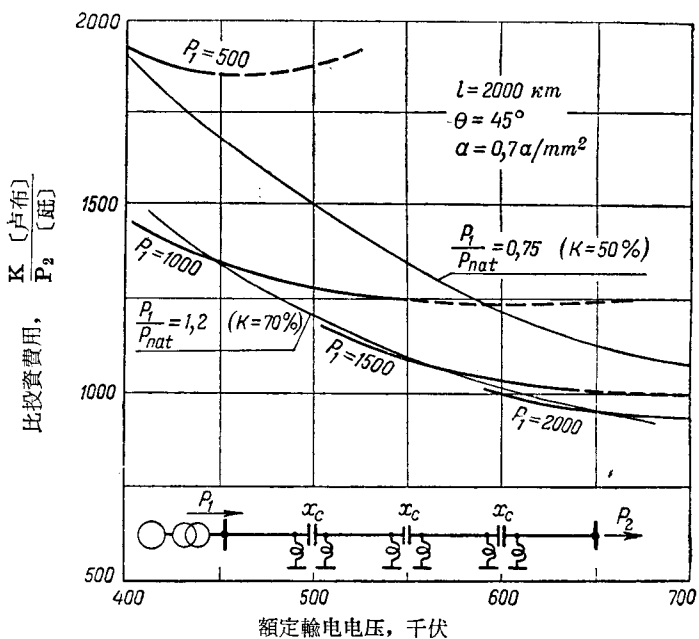


图1 輸电系統的比投資費用（第一費用）为每条線路上的电压及輸送容量的函数。

为了进行技术和經濟方面的計算，采用了400千伏以上綫路和变电所費用的綜合指數；它們是借外推法根据对220千伏和400千伏的費用分析（見表1）而得出的。

表 1

費用指數

| 元 件       | 費用單位   | 綫路电压(千伏)                      |      |      |      |
|-----------|--------|-------------------------------|------|------|------|
|           |        | 400                           | 500  | 600  | 700  |
| 变压器裝置和电抗器 | 卢布/千伏安 | 15                            | 20   | 25   | 34   |
| 断路器       | 百万卢布   | 3.0                           | 3.9  | 5.5  | 7.8  |
| 串联电容器补偿   | 卢布/千伏安 | 80.0                          | 80.0 | 80.0 | 80.0 |
| 輸电线       | 千卢布/公里 | $0.107S(*) + 0.15V(**) + 120$ |      |      |      |

(\*) S——每一相的鋁綫總截面積，千平方公厘。

(\*\*) 線路电压，千伏。

这些輸电线費用的指數是由每一相有4根導綫的複導綫單回路得出的，4根導綫各相距50公分。使用了ACO型導綫，導綫中鋁截面與鋼芯截面之比為8。

直綫鐵塔是按用于正常运行情況下（例如颱風和有雨雪時）的負荷設計，但導綫不考慮斷裂，縱向和橫向的結構有同等的強度。

耐張鐵塔只用于跨越鐵路干綫的線路上和同220千伏或更高电压綫路的跨越上，或者用于30°轉角以上的線路上。30°以內的轉角鐵塔上導綫是懸垂安裝的。

塔腳是用預制的鋼筋混凝土基礎。

在計算綜合費用指數時，將絕緣水平降到了2.5V相。

投資費用（第一費用）和輸電費用是根據上面所假定的設備容量以及裝置與導綫費用而得出來的。

電量損耗是根據本文第111節的數據假定的。

輸电线的長度取為1500，2000，和2500公里。电压在400千伏到700千伏之間變化。計算時假定電流密度在任何情況下都是0.7安/公厘<sup>2</sup>。

計算指出，在上述範圍內的導綫長度實際上不影響輸電电压的選擇。工作電荷的影響也不大。

圖1為比投資費用與在2000公里單回路上传輸500到2000兆瓦( $P_1$ )容量時電壓級的關係曲線。投資費用是涉及到輸电线( $P_2$ )接收端的功率的。

圖1虛綫表示在邊相導綫表面上電場強度超過22千伏公尺/公分的範圍。在這種情況下必須採用截面較大的導綫，也就是電流密度小於0.7安/公厘<sup>2</sup>的導綫，或者採用擴大的導綫。

在幾條曲線上表示50%和70%串聯電容器補償程度的一些點，是用細綫連接起來的。這些曲線是用於傳輸與自然功率(0.75和1.2  $P_{nat}$ )相同的功率的。

圖左面那些曲線受到了75%串聯電容器補償需要的點的限制。為了進行這個補償，將會發生過電壓和自激勵等技術方面的困難。因此，我們只是有條件地考慮用於經濟計算的75%的補償，而在描述線路圖時也考慮到了上述的問題。

当电压为400千伏，每条线路传输750兆瓦时，2000公里长的线路的比投资费用达1500卢布/瓦。

当电压为600千伏、每条线路输电1500—2000兆瓦时，比投资费用降低约35%。由上述的输电情况来看，电压由600千伏增至700千伏时，实际上不会降低比投资费用。

选择了660千伏的最大工作电压和600千伏的额定电压作为将来研究和设计之用。

### 11. 660千伏最大工作电压的线路数据，长间隙的试验电压

低于400千伏的输电系统的绝缘水平基本上是由内过电压来决定的。

对于模拟以及在400千伏的古比雪夫——莫斯科输电系统上的理论性和试验性研究表明若是采取一些经济上适当的简单措施，则内过电压水平就能可靠地限制在2.5V相以内。对于电压更高的距离更长的输电系统还没有完成内过电压的研究。但是，对于超过400千伏的那些线路也设计了2.5V相的内过电压。

苏联在实际应用时，是将所需要的电压乘以1.2得到施加的电压，用于空气间隙和绝缘子的干闪络试验上；乘以1.0用于绝缘子的湿闪络试验上。

因此，在最大工作电压为660千伏的输电系统中绝缘子和空气隙的试验电压应不小于 $\frac{660 \times 2.5 \times 1.2}{\sqrt{3}} = 1150$ 千伏均方根。而绝缘子的湿闪络试验电压为950千伏。

苏联正在用900—1000千伏均方根电压确定包括棒式和板式长绝缘子串的干、湿闪络电压。这些研究表明，绝缘子串需要的长度是由湿闪络电压值决定的，在660千伏线上应为5公尺左右。

关于选择导线与地面间需要的距离的问题是比较复杂的。从上面的数据可以看出，在导线与地面间的空气隙的耐压强度至少须为1150千伏均方根，而在两根导线间约为 $1100 \sqrt{3} = 2000$ 千伏均方根。

在大多数已经确定的数据中，各种不同电极形式的空气隙的耐压强度都是在1000千伏均方根以下。

1952年美国对于电压达1500千伏的标准的棒与棒间空气隙的击穿电压作了试验(2)。苏联因鉴于这个问题的重要性，而且对于在这个研究工作中的一些方法有些疑问，所以，对于1000千伏均方根以上的空气隙击穿电压作了专门的研究。

第一个阶段是对于棒与棒间及棒与平面间的空气隙进行了研究。

试验是在海湾上进行的。包括三个串联变压器的试验设备的合成电压当容量为2250千伏安时达2250千伏。

棒是垂直悬挂的。特别注意了载流物体和接地物体(在棒附近)以及棒的长度对于击穿电压的影响。

经证明，若是接地物体与间隙的距离比棒间的间隙短的话，则棒间的击穿电压就要相当降低。棒的长度也同样地影响了试验结果。因此，在所有的试验中，载流物体及接地物体的距离，以及棒本身的高度。至少要为所试验的棒间间隙长度的1—1.5倍。

由三种独立的方法校准的电容分压器用来测量电压。

研究结果示于图2。采取了便于实际应用的准确度(±3.5%)，可用下面的公式进行计算：

对于棒电极間

$$V_b = 0.13 + 0.47D$$

(此公式在  $1.5 \leq D \leq 4m$  时适用)

对于棒与平面电极間

$$V_b = 0.74 \sqrt{D}$$

(此公式在  $3 \leq D \leq 9m$  时适用), 式中  $V_b$  为击穿电压的峰值, 单位为兆伏。

$D$  为空气隙的长度, 单位为公尺。

由图2可以看出, 当棒与棒間及棒与平面間的空气隙較長, 电压超过1000千伏的峰值时, 則它們的击穿电压的差別突然增大。

当峰值电压为1000千伏到2000千伏时, 电极棒与棒間梯度的变化仅为10%; 但在同样的电压范围内电极棒与平面間梯度的变化却大于60%。

由于这种情况, 若根据在較低額定电压时实际設計中所采納的标准間隙耐压强度, 来选择輸电線上或用于400千伏以上开关装置的导線間的距离則要发生困难。高压 装置上各种的电极形式, 实际上是介于理想的对称电极(足够长的棒——棒电极)与完全不对称的电极(棒——平面电极)之間。根据图2中曲綫1的設計結果, 放电电压值太小, 而且可靠性較差。但是, 若根据曲綫2 的設計結果可得較大的电压值, 但是毫无理由地使經濟指數更不好。这清楚地表明, 对于在400千伏以上的电压时的击穿电压試驗数据, 不但必須从标准电极中求得, 也應該从其他可能的电极形式上, 基本上如从导線間、导線平面間、环与平面間、环与环間, 等形式上求得。目前正在行这种研究。

现阶段所得到的結果是用来确定綫路的各种数值。

导線与地面的距离以及傾斜导線与塔身之間的距离是根据棒与平面間电极形式的击穿电压所决定的, 而导線間的距离則决定于棒間的击穿电压曲綫。

所得到的600千伏綫路的各种数值列于表II。

表II 600千伏綫路的各种数值

|                     |      |
|---------------------|------|
| 最大工作电压(千伏) .....    | 660  |
| 采用的內电压水平 .....      | 2.5  |
| 最小数值(公尺) {          |      |
| 导線距地面 .....         | 4.7  |
| 导線間的距离 .....        | 5.7  |
| 为600千伏綫路选用的数值(公尺) { |      |
| 导線距地面 .....         | 9.0  |
| 导線間的距离 .....        | 14.0 |

空气隙的耐压强度与施加电压时的时间(自几百分之一秒到几分鐘)之間的关系非常重要。进一步来假定, 对于长的空气隙來說, 其耐压强度当等于內过电压过程的长度时必須急

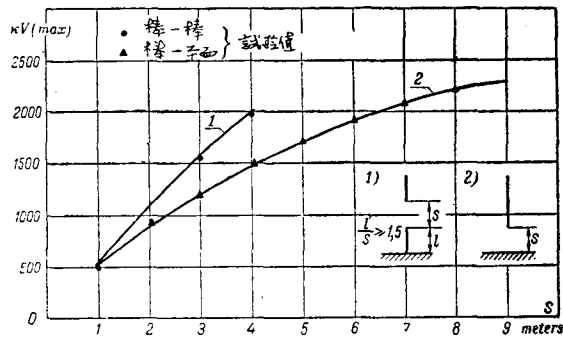


图2 放电电压与棒間及棒与平面間电极形式中的空  
气隙长度的关系曲綫

驟地增加（若与电压逐漸增加时的耐压强度相比較），因为长的空气隙具有預效应。

对于有关上述的情况，已专门进行了研究，以便确定在0.01秒至0.05秒的击穿時間內空气隙的耐压能力。

所得到的研究結果沒有能証实上面假設的条件。在50周/秒第一个半周期峰值所得到的空气隙击穿电压，与电压以每秒2%到5%的速率逐漸增加时的击穿值沒有差別（在測量准确度以內）。

應該指出，我們所得出的空气隙击穿电压值显然是和文献〔2〕中的数据不同的。我們認為是由于文献〔2〕所叙述的試驗中采用的棒不够长的原故。

### III. 600千伏線路上的电量

电量效应对于600千伏線路在經濟方面和設計方面的影响，目前还不能予以确定。但是，因为在电压这样高的線路上电量效应对的影响是很大的，并且由于線路費用太高不能选用过大的安全系数，所以，使估計尽可能地接近于实际还是很重要的。

一般說来，在苏联的輸电線路上，特别是在所研究的線路上（横貫西伯利亚的輸电系統），年度电量損耗值  $A_a$  必須加以考慮，在人口稀少的地区这比由电量所产生的无线电噪音还重要。

需要在一定的气候条件下預測  $A_a$  值，并且找出导綫直径 ( $2r_0$ )、每相的导綫总截面 ( $S$ )、复导綫中导綫的数目 ( $n$ ) 以及复导綫中导綫的间距 ( $d$ ) 对于  $A_a$  值的影响。对于以前所提到的試驗線路〔3〕繼續进行了研究；有些結果示于图3。

由于在所要求的情况下从試驗設備上得到电量損耗数据是受到限制的，因此必須广泛采用近似的估計方法。也就是說，将从一种情况下 ( $2r_0, S, n, d$ ) 得到的电量損耗試驗数据換算为另一种情况下的数据，并且也采用由气象条件影响电量損耗的近似估計方法。苏联經過对这些方法詳細研究之后認为这些方法对于所考虑的問題是有一定用途的〔12〕。

下面提供的已知的換算法則〔4〕，〔5〕具有更大的可能性。法則中規定对于不同导綫表面上相同的最大梯度电量損耗  $P$  可用下式表示：

$$\frac{P}{P'} = \frac{n r_0^2}{n' r_0'^2}$$

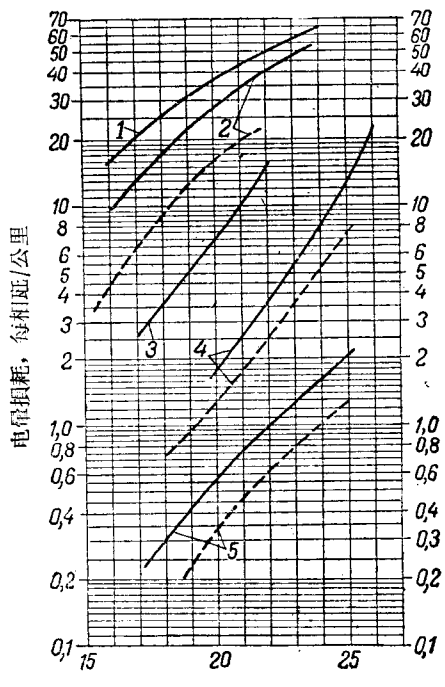


图3 各种气候条件下的电量損耗

- 1——大的白霜；
  - 2——白霜；
  - 3——下雨，雨量强度为0.7公厘/小时；
  - 4——干雪（平均值）；
  - 5——晴天
- 3×ACO-710/100公分型导綫  
·····3×ACO-480/60公分型导綫

这个公式对于同一类型的单导线和复导线，对于变化小的  $r_0^{1/2}$  值以及对于相同的气候条件几乎是都适用的。特别重要的是，这个换算公式（具有一定的误差）不但可用于干燥的天气，也可用于雨量强度恒定的下雨气候〔4〕。

利用〔3〕和〔4〕中的方法计算气候条件的影响。考虑了三种气候条件：

1. 晴天，没有可以看见的水份的下降。

2. 干雪，并有白霜<sup>(1)</sup>。

在这些情况下最可能的平均年电量损耗示于图4〔2〕，这是根据苏联和国外的试验站〔6〕，〔7〕的试验数据得到的。

对于地面1和2( $h_1$  和  $h_{II}$ )每年的气候时数一般可从气象报告中得到。

3. 下雨和湿雪在导线上形成水珠。

在这几种气候条件下的电量损耗可包括年损耗的大部分（达50—70%）〔4〕，〔8〕，而且这些计算是很重要的。

根据文献〔9〕和〔4〕，电量损耗决定于雨量强度  $i$ ，梯度  $E_M$  和导线直径  $2r_0$ 。由于瞬时雨量强度大的变化，下雨时的电量损耗波动在很大的范围内。但是，若以电量损耗作为平均雨量强度的函数（图5）来说，却相当稳定。那是根据不同的雨量强度下所连续记录的电量损耗的平均值而画出来的。目前仅能用几种导线当天下雨时在试验站进行实际的观察；因此必须在试验室利用各种强度的人工降雨进行补充研究（图6）〔4〕。

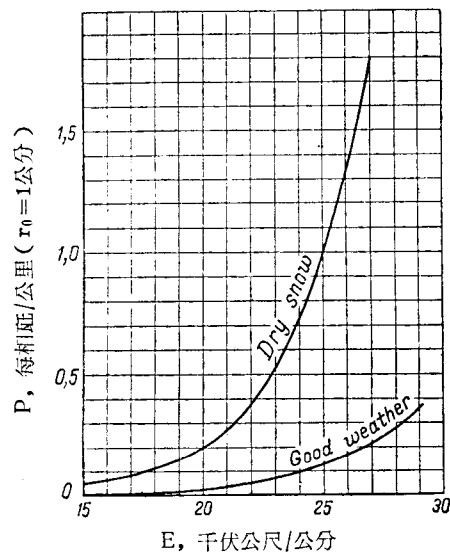


图4 在晴天和干雪时电量损耗可能的平均值  
(用  $r_0 = 1$  公分换算)

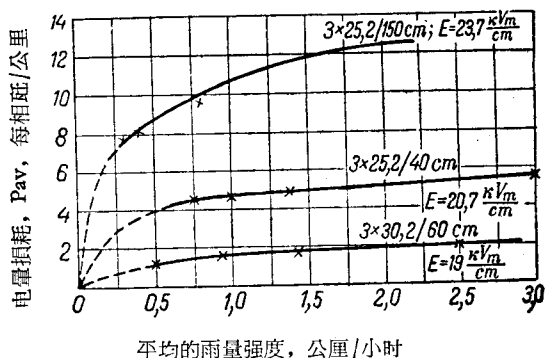


图5 在雨季(1955年4月到1957年5月)由莫斯科附近的试验线路上测得的电量损耗

利用综合曲线，根据雨量强度分配下雨的时数〔3〕，〔4〕，若是第三组气候条件下的下雨时数  $h_{III}$  和全年雨量  $I_{MM}$  已知的话，则任何地区的  $\Delta h_i$  值都能确定出来。根据苏联16年来在许多地区的气象报告，这个综合分配曲线的不变性得到了证实。

(1) 由苏联的试验线路证明，有些情况下的白霜和雾使电量损耗比下雪时还大。前者的影响与相当强度的雨量差不多。但是这种情况只是在冷导线上发生。对于已经运行的有负荷的线路的意义将进一步加以研究，现在没考虑在内。

(2) 图4中的电量损耗  $P$  是由假设的铝钢导线 ( $r_0 = 1$  公分) 求出来的。

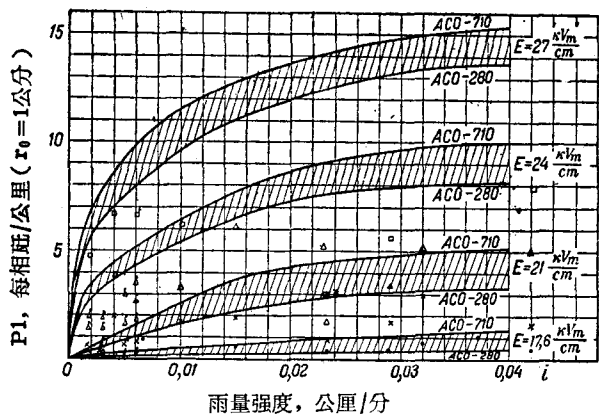


图6 电量损耗与雨量强度的关系曲线(以 $r_0 = 1$ 公分换算)。用人工造雨在试验室测得的数值(曲线上面一条是用ACO-710型导线,下面是用ACO-280型导线)。  
在苏联的试验线路上的测量。

对于导线上已知梯度的年电量损耗用下式表示:

$$A_a = nr_0^2 A_1 = nr_0^2 \left[ P_{1I} h_I + P_{1II} h_{II} + \sum_i P_{1i} \Delta h_i \right]$$

近似估计的范围示于图7, 图中年电量损耗 $A_1$ 是根据图4和图6的数据和莫斯科的气候条件计算的, 并且和其他国家的测量数据作了比较。

根据西伯利亚东部的气候情况( $h_{II} = 1160$  h,  $h_{III} = 382$  h,  $I = 380$  公厘), 用各种不同的 $r_0$ ,  $n$ ,  $d$  和  $S$  计算了在 600 仟伏线路上的电量损耗。导线是水平排列的, 相间距离为 14 公尺。

电量损耗对于选择导线截面的影响的一般情况示于图8。图中包括电量损耗的经济截面( $S_{ec\ cor}$ )与不包括电量损耗的截面( $S_{ec}$ )之比为每相导线总截面 $S_{ec}$ 的函数。

可以认为, 当电量损耗将经济截面改变了10%时, 它已经是发生了影响。

对于一条400仟伏线路( $n=3$ )来说, 当截面小于 $S = 1200$  公厘 $^2$ 时, 电量损耗的影响变成为重要的了; 对于600仟伏线路,  $n=4$ , 截面小于2000 公厘 $^2$ 时以及 $n=3$ , 截面小于2500 公厘 $^2$ 时电量损耗是重要的。

- $\delta$   $E_m$  17.6 仟伏/公尺/公分;
- $\times \times \wedge$   $E_m$  21 伏仟/公尺/公分;
- $\triangle \triangle \wedge$   $E_m$  24 仟伏/公尺/公分;
- $\square \square \wedge$   $E_m$  27 仟伏/公尺/公分。

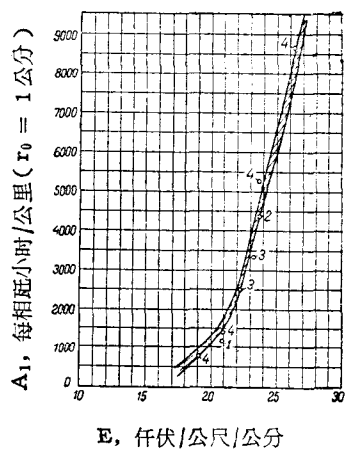


图7 根据文献[4]计算的莫斯科气候条件下( $I = 630$  公厘,  $h_{III} = 766$  h,  $h_{II} = 1042$  h)的年电量损耗。空气的相对密度 $\delta = 1^*$ 下面为ACO-280型导线, 上面为ACO-710型导线。  
1、2、3——根据国外试验线路测量值[10], [7], [11]。  
4——根据苏联试验线路的数据。

(\*)一年中 $\delta$ 自0.95到1.1的变化可能引起电量损耗的一些变化(2或3倍)。但是一般说来电量损耗可根据平均值 $\delta = \delta_{ar}$ 来确定, 在上例中近似于1。

各种因素对于600千伏線路上年电量損耗絕對值的影响示于图9。實綫表示在ACO型导綫上的电量損耗，虛綫表示导綫直径增至1.2到1.5倍时的电量損耗。

上述数据表明 $4 \times \text{ACO} - 710 - 4 \times \text{ACO} - 480$ 型导綫可用于600千伏線路上。截面小于2500公厘<sup>2</sup>的ACO型导綫( $n = 3$ )上电量損耗太大。复导綫中的导綫数目增至4根时( $n = 4$ )、总截面与前面相同时，电量損耗可降低70%。若采用直径扩大20%的导綫而 $n = 3$ 时，也可以得到相同的结果。

但是，对于技术和經濟方面的种种問題尚需进行全面的研究。

若从增加线路輸送容量的观点看来，增加参数 $d$ 的可能性是值得考虑的。正如图9表示的， $d$ 从400公厘增到800公厘，将使特性阻抗降低約10%，年电量損耗将增加20%。

对于上述的这些推測，苏联目前

正在試驗綫路上进行广泛的校驗。

## 結論

1.根据技术和經濟上的理由、选用了660千伏的最大工作电压和600千伏的額定电压作为400千伏之上的电压級，并将用这个电压級进行进一步的研究和設計。当輸送容量增至每条綫路为1500—2000兆瓦时这种电压在經濟上是有利的。

2.在研究空气隙的耐压強度，发现棒与棒及棒与平面两电极形式的击穿电压在1000千伏均方根以上的电压时差別很大。

在選擇400千伏以上輸電綫尺寸和开关装置时不可以利用标准空气隙的耐压强度。需要得到实际的电极形式上的击穿电压数据。对于这些綫路尚需繼續进行研究。

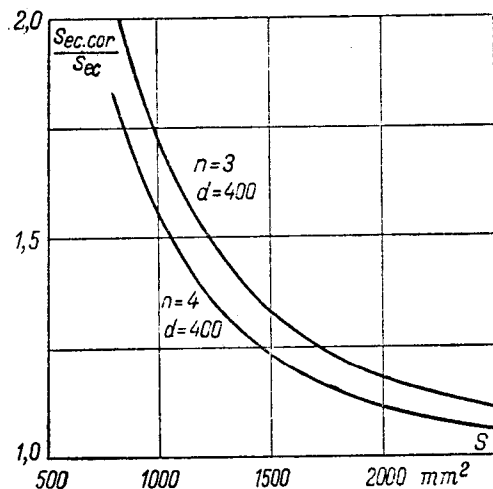


图8 600千伏线路

东西伯利亚东部的气候情况 ( $h_{II} = 1160$  h,  $h_{III} = 380$  h,  $I = 380$  公厘)

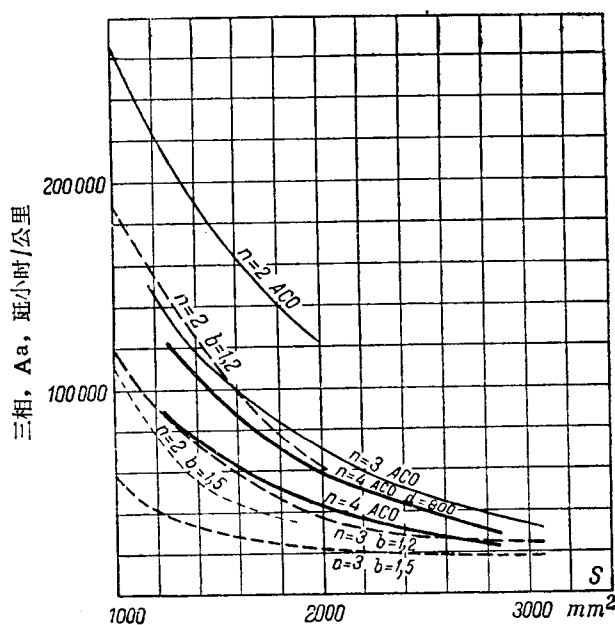


图9 600千伏线路上的年电量損耗(在西伯利亚东部的气候条件下)

——ACO型鋁鋼紋綫(在所有情況下都是取 $d = 400$ 公厘，只有在 $n = 4$ 的一条上 $d = 800$ 公厘)  
……同上、直径增大20%( $b = 1.2$ )  
……同上( $b = 1.5$ )

3. 在电压为600千伏时，每相的复导綫需要普通类型的4根导綫（每根直径为37公厘）。若是导綫直径增加20%，則仅需3根导綫。但是有关技术和經濟方面的問題还需加以周密的研究。

### 参考文獻

1. D. I. Azariev, V. A. Venikov, L. G. Mamikonjantz and I. A. Siromiatnikov, Measures for increasing the reliability and stability of power systems and long-distance transmission lines (CIGRE, Report No. 318).
2. S. H. Hagenguth, A. F. Rohlefs and W. J. Degnen, Electr. Eng., 1952.
3. N. B. Bogdanova, A. K. Gertzik, N. P. Emeljanov, V. I. Levitov, V. I. Popkov and N. A. Voskresenski (CIGRE, 1956).
4. V. I. Popkov and N. V. Bogdanova, Elektrichestvo, No. 1, 1957.
5. K. Potthoff, E.T.Z., vol. 54, 1953.
6. W. Borgquist and A. Vrethem (CIGRE, 1948, Report No. 412)
7. Fr. Cahen and R. Pelissier, Bull. Soc. franc. Electr., vol. 8, No. 79, 1948.
8. Fr. Cahen, Beame Journal, October 1951.
9. I. W. Gross, C. F. Wagner, O. Neff and R. L. Tremains, Trans. A.I.E.E., vol. 70, part 1, 1951.
10. Digest in El. Light Power, vol. 31, No. 4, 1953.
11. J. S. Forrest (CIGRE, 1952, Report No. 301).
12. V. I. Levitov, Using similarity theory in investigating a.c. corona (Izvestia Acad. Sc. U.S.S.R., O.T.H., No. 12, 1956).

## 瑞典高特兰島高压直流輸電線引起的通訊 干擾和其他效應

G. A. Pettersson, L. Ahlgren, H. Forsell

### 1. 序 言

此直流輸電系統已自1954年起投入運行，其特性如下。

在瑞典大陸是通過120公里長的130千伏線路饋電給整流變電所，在那裡將交流電變為100千伏200安的直流電，由一條長約100公里的單芯海底電纜將直流電輸送到高特蘭島。在高特蘭島的反流變電所將直流變成交流，經過10千伏的中間電壓饋入高特蘭島的30千伏網絡上。網絡和反流器所需要的無功功率由10千伏30無效兆伏安的同步電容器來補償。直流電流通過海水回來，而每一電極由一架空線與換流變電所相連接。

關於直流輸電的一些問題在交流輸電系統上一般是不會遇到的。這裡要提到的是設備的外部效應問題。本文敘述了所遇到的一些問題以及解決這些問題的一些措施。

### 2. 腐 蝕

在本直流輸電系統中是以海水作為回路導線，因此必須特別注意腐蝕問題。當輸電時，在海水里不同電極間的直流電流穿過敷設在海底某些區域的電纜，而且又從另一些區域的電纜中流出來，這就發生了腐損損壞的危險。

可能受到腐蝕的電纜包括大陸與高特蘭島間的直流輸電電纜和以前敷設的電話電纜。與電訊局協商之後同意能夠容許0.1微安/公分<sup>2</sup>的向內漏流。計算表明，負荷電流為200安時這就相當於電極與電纜間9公里的最短距離。實際選擇的距離是10公里。海底電話電纜與電極的距離比電力電纜遠一些，因此比電力電纜少受一些腐蝕作用。

敷設直流電纜之後，測量了電位以確定腐蝕的危險性。測量結果表明，鐵鎧裝和鉛護套電纜電位約1.0伏（與銅/硫酸銅電極有關）。因為對地負電位至少為0.85伏時鐵不會腐蝕（對鉛為0.55伏），在鐵鎧裝上的鍍鋅層未損傷以前，電纜是不致受腐蝕的。無電流電纜和通電流電纜的電位差很小（0.005伏），從海底電極的漏流微不足道，因此鍍鋅層受腐蝕的危險很小。在高特蘭島一端電位的變化是正方向的（在大陸是反方向的）。

在某些情況下可能有大量電流經過電纜護套。當開關裝置發生接地故障時，則電纜護套上可能分佈大部分的故障電流。若從運行的觀點來看則必須立刻截斷。這樣就只在一個短時間內受到腐蝕，所以可以認為是無害的。

當在電極導線和地面間的電容器上電花間隙閃絡時，相似的情況是有效的。

在羅盤測量方面，對於能夠從變電所接地網絡分配到海里的電流進行了研究。根據對於上述故障情況下地面磁場垂直部分變化的研究，在電纜護套內的電流流量估計可能是負荷電流的15%。

在变电所开关装置上及通过测量分压器的漏流估計約为100毫安。其中只有一小部分（約15毫安）将通过电纜护套，假若护套是連在接地網絡上的話。考慮到避雷問題这种連接还是需要的，但为了消除腐蝕的危險采用了电花間隙。

在高特兰島根据电流消耗对鎧裝的鍍鋅层保护問題进行了試驗。試驗表明，几个安的电流消耗就完全可以消除腐蝕的危險。但是，直到目前为止，腐蝕的危險被認為是很小的，因此沒有采取任何的电流消耗方法。

### 3. 罗盘偏差

在直流电纜里的电流形成一个磁場，因而在电纜附近罗盘产生偏差。其偏差可由下式来确定：

$$\operatorname{tg}\alpha = \frac{1}{5 \times s H_e} \times \frac{1}{1 + \left(\frac{x}{s}\right)^2} \cos\gamma,$$

式中 I = 直流电流，安；

S = 电纜以上的高度；

H<sub>e</sub> = 地面磁場的水平部分；

γ = 电纜路線与磁場南北极的夾角；

X = 与电纜的水平距离。

由上述公式算出的偏差是由导線中的电流引起的，反回电流的影响还未考虑在內。若以海水作回路，则由于海水回路电流和鎧裝剩余电流的修正值可以忽略不計。

所幸高特兰島电纜的路線在东西方向的偏移不大于11°。当直流电流为200安时，在电纜正上面的偏差仅为0.3°左右，由此可以証明，罗盘偏差还没有引起任何严重問題。1955年冬天在冰上进行的測量証实了这种計算。

### 4. 无线电干扰

第一次測量时，在整流变电所只用了一套离子閥，輸出电压为50千伏，然后采用了两套离子閥，輸出电压为100千伏。

由整流器来的干扰电流通过电极导線，电极导線在大陆的长度为20公里，在两极上有8—10公尺高的两根导線。而且射頻电压由这条线路感应到交錯的和邻接的线路，以及一条40千伏和一条130千伏的线路上去。

因为电极导線經過的是无居民的地区，因此线路附近的干扰未引起什么問題。但是，在整流变电所工作的人員收听无线电广播时就受到了干扰，他們的房子离整流器及連接开关装置的电線很近。曾用电場强度計对干扰进行了測量，并使用了装在电線下面的回路天綫。測量装置是根据 C. I. S. P. R. 标准制造的。

在下列一些地点进行了測量：

离整流变电所約4.7公里和12.5公里的电极导線下面的第1和第4測量点，离变电所約6.7公里在130千伏的整流器饋电線下面的第2測量点，离变电所約6.9公里在40千伏的接开关装置的线路下面第3測量点，离变电所約0.5公里在電話线路（32根导線）下的第5測量点。

所得的数值列入表1。

沒有发现輸出功率在任何程度上对干扰发生影响。

在莫塔拉广播电台的电场强度（在这个地区收听最清楚）接近第2测量点时约为3—4毫伏/公尺。

为了减少干扰，在整流变电所电极线与地面间连接了一个0.1微法的低电感电容器。

表1 无线电干扰的电场强度

| 测量地点 | 频率(千赫) | 电场强度(毫伏/公尺) |       |
|------|--------|-------------|-------|
|      |        | 50千伏        | 100千伏 |
| 1    | 160    | 235         | 7000  |
|      | 240    | 320         | 1200  |
|      | 550    | 50          | 110   |
|      | 1000   | 15          | 12    |
| 2    | 160    | 141         | 900   |
|      | 240    | 137         | 75    |
|      | 550    | 20          | 17    |
|      | 1000   | 38          | —     |
|      | 1400   | 16          | —     |
| 3    | 160    | 55          | 60    |
|      | 240    | 50          | 70    |
|      | 550    | 8           | 16    |
|      | 1000   | 10          | —     |
| 4    | 160    | 6           | —     |
|      | 240    | 3           | —     |
| 5    | 160    | —           | 45    |
|      | 240    | —           | 140   |
|      | 550    | —           | 20    |

### 5. 由于直流电中的脉动而产生的噪音干扰

当进行计划工作时，整流器设计者们提供了在频率  $f = p \times n \times 50$  时有关在直流端整流器脉动振幅的数值， $p$  = 脉冲数目， $n = 1, 2, 3$ ，等等。因此，对直流输电海底电缆和电极连接导线形成的干扰效应能够预先作一个估计。

在海底电力电缆附近有一条海底电话电缆，在大陆的电极连接导线附近的电话线上有一段露天部分，它包括一条双线架空线。当预先计算电话电缆中的干扰时，适当考虑了在电话电缆和电力电缆中的波形。在计算时是假设电话电缆（为同轴电缆）由于它的特性阻抗而接在两个端头上，而电力电缆则由于高阻抗接在离馈电处远的一端上，因此，可以假设此处整流器脉动的振幅很小。

电力电缆上电流的计算值示于图1，两条曲线表示600及1200赫时的电流值。计算（见附则1）表明，海底电话电缆与电力电缆间的距离不应小于350公尺。在这种情况下在声频

通道的干扰电压 ( $V_o$ ) 没有超过国际限制。当选择的电缆距离为 2000 公尺时，实际上的干扰只为最短距离的计算容许干扰的 3% 左右。计算也表明了干扰与距离的平方成反比例。

估計了来自大陆的裸綫電話電纜上电极导綫的干扰，在計算时考虑到了在电极上短路的电力綫的波形(附則 2)。

干扰电綫一部分为很少几家用户的露天电綫(在电极附近)，一部分为接地裸綫。由附图 1 的曲綫可以看出两条綫路对于电极导綫的位置。在各种频率下整流变电所声频电流为一定值( $I_o$ )时测量的和計算的在地面与用户电綫間的电压( $V_1$ )示于附图 2。可以看出，对于一条短的用户电綫來說电压的測量值和計算值是相当一致的。

假若有少許的变化，则必須把接近的电綫分成不同的段，每段中相隔的距离相当一致，并且計算到电话綫接头的每一段的感应电压。附图 3 为根据附图 1 和图 2 画出的在露天电话綫各种频率上  $I_o$  值恒定情况下的測量电压值曲綫。

預先的計算表明，在整流器脉动的各种实际值上干扰将达到一个不容許极限。为了减少干扰可以考虑几种不同的方法。例如，可为电极导綫選擇另一条路綫，或者把电话綫移动到另一个位置、从技术观点和經濟观点来看，最好的方法是在电极导綫和地面間的整流器上装一个电容器。这个电容器不論在什么情况下对于減少大气过电压的危险都是必要的，但是从經濟观点來說，在几微法左右可以进行選擇若使电容器有相当高的容量，就能够减少电极导綫中的声频电流。最后选择了100微法的电容。

电极导綫中的叠加声频电流的一部分是与由下式确定的频率有关。

$$I_o = I_T \times \frac{1}{\omega C \times Z_K}$$

式中  $I_o$ =整流器中电极导綫里的声频电流；

$I_T$ =由整流器供给的全部声频电流；

$Z_K$ =电极导綫的短路阻抗；

$C$ =分路电容器的电容；

$Z_K$  及  $\omega C$  是频率的函数，参阅附图 4。

在整流装置开始运行以后，对于和直流电流中声频脉冲有关的問題进行了分析，在电力方面具有重要性的平滑装置被连接在整流器和电纜之間。这种由电抗器、电容器和电阻器构成的平滑装置，对于在电话干扰方面来防止声频电流流入輸电綫路起着主要的作用。

根据附图 1 的曲綫，計算了在与地絕緣的綫路上的160和860毫伏的 2 和 3 两段的音强計縱向干扰。在后面一段上的横向音强电动势是在0.32毫伏时測量的。附表 5 分析了上述情况下的音强計縱向干扰。

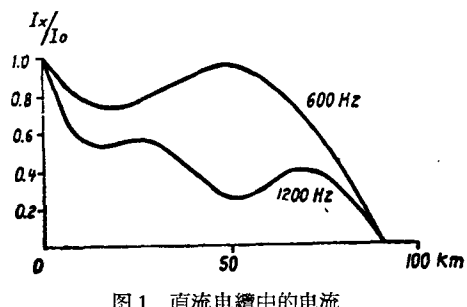


图 1 直流电纜中的电流